

© 1992

## НЕЛИНЕЙНЫЕ ЯВЛЕНИЯ В ВТСП КОЛЬЦЕ ПРИ НИЗКИХ ЧАСТОТАХ

*А. И. Шелых, Е. К. Кудинов*

Изучались характеристики тока сверхпроводящего кольца, возбуждаемого синусоидальным магнитным потоком, проходящим через его отверстие. Исследовалось, как меняется, этот ток под влиянием изменения температуры, внешнего постоянного магнитного поля и тока, проходящего через кольцо в осевом направлении. Применялась бесконтактная методика исследования. Во всех случаях обнаружены области, в которых проявляются нелинейные эффекты, сопровождающиеся появлением третьей гармоники.

Нелинейные характеристики сверхпроводников, связанные с их магнитной восприимчивостью на переменном токе, рассмотрены в работе [¹]. После открытия высокотемпературных сверхпроводников (ВТСП) это направление получило дальнейшее развитие в ряде работ [²–⁶]. В настоящей работе исследуются нелинейные эффекты, связанные с внешними воздействиями, в ВТСП кольце, при возбуждении в нем кольцевого тока внешним синусоидальным магнитным потоком.

### 1. Методика измерений

Исследовались образцы ВТСП керамики  $\text{YBa}_2\text{Cu}_3\text{O}_{7+x}$  в форме колец с наружным и внутренним диаметрами 2.6 и 7 мм соответственно и толщиной 3.3 мм. Переменный ток в кольце (кольцевой ток) возбуждался синусоидальным магнитным потоком, созданным проволочным соленоидом, проходящим через отверстие кольца (конфигурация Ааронова–Бома). Таким образом исключалось воздействие на кольцо магнитного поля соленоида [⁷]. Соленоид подключался к звуковому генератору через последовательное сопротивление  $R > \omega L$ ,  $\omega$  – частота генератора,  $L$  – индуктивность соленоида. Измерения проводились в основном на частоте  $\omega/2\pi = 2 \cdot 10^3$  Гц.

Наведенный кольцевой ток создавал вокруг себя переменное магнитное поле, которое индуцировало напряжение  $V(t) = V(H(t))$  в измерительной катушке, расположенной около поверхности кольца ( $H(t)$  – напряженность поля внутри соленоида). Напряжение  $V(t)$  пропорционально производной кольцевого тока, т. е. однозначно характеризует его.

Сигнал  $V(t)$  регистрировался двумя узкополосными усилителями, настроенными на основную частоту  $\omega$  и  $3\omega$  соответственно. Начало отсчета сигналов на выходе этих усилителей  $V_1$  и  $V_3$  соответствовало состоянию образца при температуре на 1–2 К выше температуры перехода в нормальное состояние  $T_c$ .

Внешнее постоянное магнитное поле  $H_0$  в пределах 0–40 Гс создавалось другим соленоидом, в центре которого находилось кольцо. Ток в соленоиде подавался от источника постоянного тока через последовательно включенное сопротивление для уменьшения индуктивной связи цепи внешнего магнитного поля с измеряемым образцом.

Измерения проводились в среде жидкого азота. Температурные зависимости снимались при нагревании образца в парах азота. Скорость нагревания составляла  $3 \cdot 10^{-2}$  К/мин, что обеспечивало изотермичность при проведении опытов. Из-

мерения проводились в небольшом интервале температур. Точность измерений повышалась дифференциальным включением термопары, которой измерялась температура. Ее холодный конец находился в жидким азоте. При таком включении сигнал термопары соответствовал отклонению температуры образца от «начальной» температуры жидкого азота.

Для пропускания через кольцо в осевом направлении дополнительного тока применялась специально изготовленная из единого материала ячейка. Она состояла из двух взаимно перпендикулярных колец; ток в каждом из них независимо возбуждался переменными магнитными потоками, проходящими через отверстия этих колец. В месте пересечения колец протекал суммарный ток. Около одного кольца располагалась измерительная катушка для регистрации сигналов  $V_1$ ,  $V_3$ .

Таким образом, в примененной нами методике исследования возбуждение и регистрация тока в сверхпроводящем кольце и внешнее воздействие на него осуществлялись бесконтактным способом.

## 2. Результаты эксперимента

а. Температурная зависимость. В этих экспериментах исследовалась зависимость эффективного значения напряжения  $V(t)$  от температуры  $T$ . При этом амплитуда синусоидального тока, питающего соленоид, была фиксирована.

На рис. 1 приведена температурная зависимость кольцевого тока  $I_0(T)$ . Сначала (рис. 1, а) амплитуда  $H_1$  магнитного поля, создаваемого соленоидом (которое и возбуждает переменный кольцевой ток), выбиралась минимальной,  $H_1 = 4 \cdot 10^{-3}$  Гс (соображения, диктовавшие выбор минимального значения  $H_1$ , приведены ниже). Начальный ток в кольце (ток при температуре начала эксперимента) и соответственно  $V_1$  приняты на рис. 1, а за 1). По мере роста температуры при определенном ее значении наблюдается резкое падение тока, сменяющееся более плавным при дальнейшем повышении.

В ряде опытов перед переходом  $T = 85.2$  К наблюдалось изменение тока порядка 2—4% от начального значения. Оно могло быть как в сторону роста (как на рис. 1, а), так и в сторону уменьшения тока (что связано, как мы полагаем, с неоднородностью исследованных керамических образцов). Одновременно с появлением такого «предвестника» начала перехода в (помимо) смешанное состояние появляется сигнал  $V_3$ , связанный с нелинейностью кольцевого тока. На рис. 1, а минимальное значение  $H_1$  выбиралось из условия  $V_3 / \text{шум} \approx 1$ , поэтому на нем представлена только зависимость  $V_1 = f_1(T)$ .

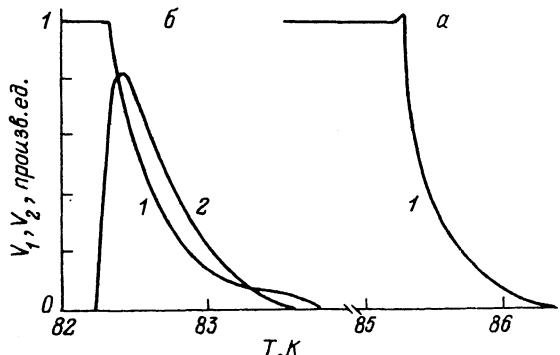


Рис. 1. Затухание первой гармоники  $V_1$  с температурой,  $H_1 = 4 \cdot 10^{-3}$  Гс (а); затухание  $V_1$  (1) и  $V_3$  (2) с температурой,  $H_2 = 10^2 H_1$  (б).

На рис. 1, б показана температурная зависимость  $V_1$  сверхпроводящего кольца, в котором ток возбуждался синусоидальным полем амплитуды  $H_2 = 10^2 H_1$ .<sup>1</sup> При этом возникал сигнал  $V_3$ , величина которого была достаточна для измерений и определения температурной зависимости  $V_3 = f_3(T)$ , также приведенная на рис. 1, б. Для данного значения  $H_2$  наблюдается переход сверхпроводника в смешанное состояние, фиксируемое по сигналу  $V_1$  при более низкой температуре  $T = 82.2$  К. Сигнал  $V_3$ , связанный с нелинейностью, появляется при температуре на 0.1 К раньше, чем это становится заметным по величине  $V_1$ . Сигнал  $V_3$  резко возрастает в начале перехода, а затем уменьшается почти синхронно с уменьшением тока в кольце, т. е.  $V_1$ .

Отметим, что резкие изменения величин на рис. 1 в области возникновения нелинейности существенно сглаживаются при ускорении темпа нагрева. Это можно объяснить возникновением пространственной неоднородности из-за появления градиентов температуры.

Форма сигнала в измерительной катушке  $V(t)$  наблюдалась на экране осциллографа. Она оказалась близкой к производной синусоидального сигнала с симметричным ограничением (см. ниже рис. 4, в).

б. Постоянное внешнее магнитное поле. Здесь исследовались зависимости  $V_1$  и  $V_3$  от внешнего постоянного магнитного поля  $H_0$ . Поле  $H_0$  было направлено перпендикулярно плоскости кольца. Амплитуда тока соленоида, как и ранее, была фиксирована, ее значения соответствовали таким значениям амплитуды поля соленоида, Гс:  $H = 0.4, 0.8, 1.2, 1.6$ . При этом начальный кольцевой ток при  $H_0 = 0$  пропорционален значениям  $H$ , как это видно из рис. 2, (при максимальном значении 1.6 Гс кольцевой ток был меньше критического). Из рис. 2 видно, что существует пороговая величина постоянного магнитного поля  $H_{0n}$ , выше которой кольцевой ток начинает убывать. Чем больше величина начального тока (т. е. чем она ближе к критическому значению), тем меньше величина  $H_{0n}$ . Уменьшение тока сопровождается появлением у него нелинейной компоненты  $V_3$ , резкий рост которой в небольшом интервале полей  $\sim 3$  Гс, начиная с  $H_{0n}$ , после достижения максимума сменяется убыванием. В дальнейшем убывание  $V_3$  коррелирует с убыванием  $V_1$ . Увеличение частоты на порядок к существенным изменениям не приводит.

Зависимости на рис. 2 заметно не меняются, если их проходить в обратном направлении (уменьшать поле  $H_0$  до нуля). Некоторые следы необратимости появляются лишь при  $H_0 > 30$  Гс. Отметим также, что поле, лежащее в плоскости кольца, заметного влияния не оказывает.

Зависимости  $V_1$ ,  $V_3$  от  $H_0$  исследовались также для случая, когда кольцо предварительно переводилось в сверхпроводящее состояние понижением температуры в постоянном магнитном поле  $\pm H_{00} = 30$  Гс (знак «+» соответствует параллельному, а «-» — антипараллельному расположению полей  $H_0$  и  $H_{00}$ ). В этом случае заметная нелинейность наблюдалась уже при  $H_{00} = 0$  (рис. 3). При параллельной ориентации характер зависимостей  $V_1$ ,  $V_3$  от  $H_0$  близок к полученным ранее (рис. 2). При антипараллельной ориентации при возрастании  $H_0$  сначала наблюдаются рост  $V_1$  и убывание  $V_3$  (уменьшение нелинейности) практически до нуля. При дальнейшем росте  $H_0$  эти зависимости приобретают характер, аналогичный зависимостям рис. 2 (т. е. когда  $H_{00} = 0$ ), см. рис. 3.

в. Влияние поперечного тока. Предварительные эксперименты, в которых переменный ток пропускался через участок кольца в направлении, перпендикулярном его плоскости. Обнаружено, что начиная с некоторого его значения возникает сигнал третьей гармоники.

<sup>1</sup> Как видно из рис. 1, увеличение амплитуды тока соленоида на два порядка приводит к сдвигу температурной области на  $\sim 3\%$  Это можно связать с характерной для ВТСП нелинейностью в области малых магнитных полей.

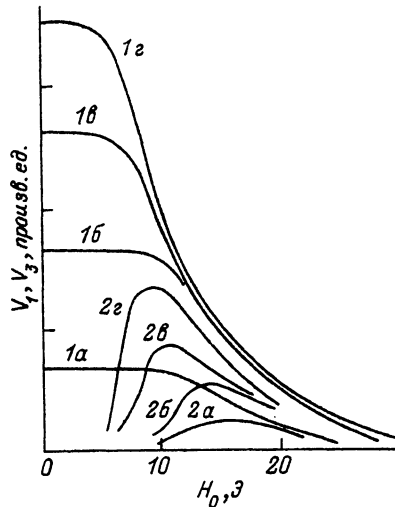


Рис. 2. Зависимость  $V_1$  (1) и  $V_3$  (2) от постоянного магнитного поля, перпендикулярного плоскости кольца ( $H$ ).

Значения поля в соленоиде, Гс: а — 0.4, б — 0.8, в — 1.2, г — 1.6.

Отметим, что амплитуды гармоник  $V_1$ ,  $V_3$  практически не зависят от частоты  $\omega$  в интервале 0.25—6 кГц, если амплитуда поля соленоида не превышает 5 Гс (что выполнялось в приведенных выше экспериментах а, б). При больших амплитудах наблюдается рост  $V_1$  с ростом  $\omega$ , причем зависимость довольно слабая,  $V_1 \sim \omega^\gamma$ , где  $\gamma < 1/3$ . Мы связываем это с дефектностью керамического образца.

### 3. Интерпретация и обсуждение результатов

В предыдущей работе [7] нами исследовалась статическая зависимость кольцевого тока  $I_0$  от магнитного потока  $\Phi$  через отверстие кольца. Естественно ожидать, что наблюдавшиеся в настоящей работе нелинейности в основных чертах могут быть объяснены на основе этих статических характеристик. Зависимость  $I_0$  ( $\Phi$ ) имеет вид, показанный на рис. 4. Пусть поток  $\Phi$  ( $t$ ) изменяется по синусоидальному закону,  $\Phi$  ( $t$ ) =  $\Phi_m \sin \omega t$ . Если  $\Phi_m = \Phi_{m1}$  не превышает  $\Phi_c$ , ток в кольце будет также иметь синусоидальную форму; при этом точка, описывающая мгновенное состояние кольца, движется по прямой  $CC'$  на рис. 4, а. Если же  $\Phi_m = \Phi_{m1} > \Phi_c$ , эта точка будет двигаться по параллелограмму  $AA'BB'$ ; при этом ток во времени будет меняться по усеченной синусоиде (рис. 4, в). Первая  $A_1$  и третья  $A_3$  гармоники усеченной синусоиды даются выражениями

$$A_1 = I_0 \begin{cases} 1, & I_0 < I_c, \\ (2/\pi) \{\arcsin(I_c/I_0) + (I_c/I_0) [1 - (I_c/I_0)^2]^{1/2}\}, & I_0 > I_c, \end{cases} \quad (\Phi_m < \Phi_c),$$

$$A_3 = I_0 \begin{cases} 0, & I_0 < I_c, \\ (4/3\pi) (I_c/I_0) [1 - (I_c/I_0)^2]^{3/2}, & I_0 > I_c. \end{cases} \quad (\Phi_m > \Phi_c)$$

Сигнал в измерительной катушке пропорционален производной кольцевого тока  $dI(t)/dt$  (индуктивная связь!), соответственно его первая и третья гармоники

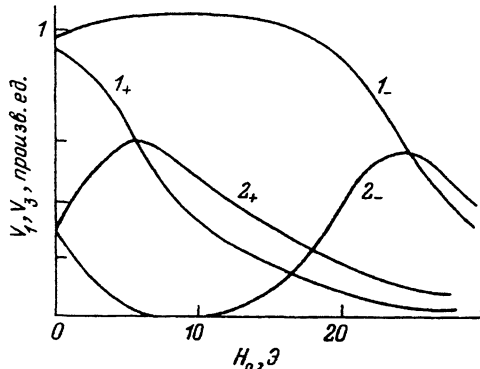


Рис. 3. Зависимость  $V_1$  (1) и  $V_3$  (2) от  $H_0$  для кольца, переведенного в сверхпроводящее состояние в поле  $\pm 30$  Гс.

<sup>2</sup> Площадь параллелограмма, естественно, пропорциональна энергии, поглощаемой за период.

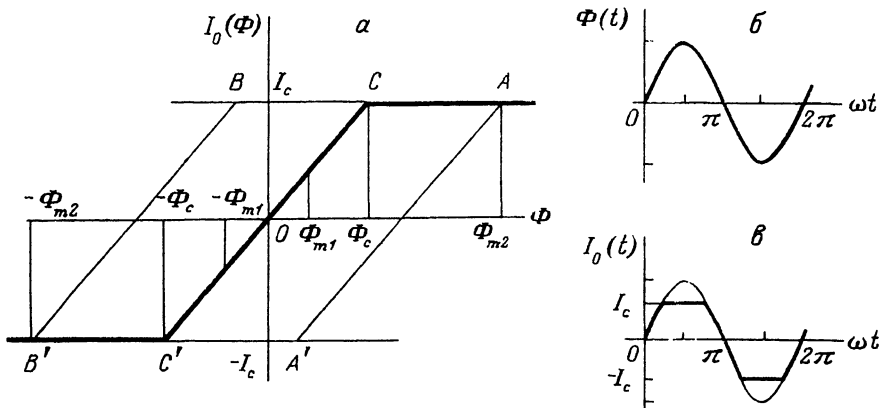


Рис. 4. Зависимость  $I_0$  от  $\Phi$  (а); временная зависимость  $\Phi(t)$  (б); временная зависимость  $I_0(t)$  (в).

пропорциональны  $A_1$  и  $3A_3$ , т. е. отношение  $V_1/V_3 = A_1/3A_3$ . Когда  $I_0 \gg I_c$ ,  $V_1/V_3 \rightarrow 1$ , т. е.  $V_3/V_1 \rightarrow \text{const} \cdot I_c$  и не зависит от амплитуды внешнего сигнала. Отметим, что сигнал  $A_3$  максимальен при  $I_c/I_0 = 1/2$ .

а. Температурная зависимость. В этих экспериментах амплитуда потока  $\Phi$  фиксирована, а увеличение  $T$  вызывало уменьшение критического тока  $I_c$ . (Поскольку в конфигурации Ааронова—Бома единственным полем, действующим на сверхпроводник, является поле, созданное кольцевым током, то критический ток определяется точкой перехода в смешанное состояние, т. е. полем  $H_{c1}$ ). Примерная зависимость  $I_c$  от  $T$  представлена на рис. 5. При температуре начала эксперимента  $T_0$  внешний поток создает кольцевой ток  $I_0 < I_c < (T_0)$ , при температуре  $T_1$   $I_0$  сравнивается с  $I_c$ ,  $I_c(T_1) = J_0$  и дальнейшее повышение  $T$  приводит к уменьшению  $I_c$ . Поэтому при  $T < T_1$  сигнал  $V_1 = \text{const}$ , а  $V_3 = 0$ . При  $T > T_1$  происходит усечение синусоиды, появляется  $V_3$ . При  $T$ , достаточно близкой к  $T_c$ , когда выполняется неравенство  $I_c/I_0 \ll 1$  мы непосредственно определяем  $I_0(T)$ .

Экспериментальные кривые рис. 1 качественно согласуются с описанной картиной: начальный участок не зависит от температуры, затем почти одновременно начинается убывание  $V_1$  и появляется третья гармоника  $V_3$ , последняя имеет максимум; видна тенденция  $V_1 - V_3$  по мере приближения к  $T_c$ . Дополнительным подтверждением этой картины является форма сигнала  $V(t)$  на экране осциллографа. Большие углы наклона кривых рис. 1 при температуре возникновения нелинейности могут быть следствием большого значения производной  $dI_c/dT$  в этой области.

В численных значениях наблюдается известное расхождение. Так, при температуре, соответствующей максимуму  $V_3$ , отношение  $V_3/V_1$ , согласно приведенным выше формулам для  $A_1$ ,  $A_3$ , должно равняться  $2/3$ , в то время как на рис. 1, б оно порядка 1; также всегда должно быть  $V_3/V_1 < 1$ . Надо, однако, заметить, что эксперимент носил обзорный характер и точному измерению амплитуд гармоник

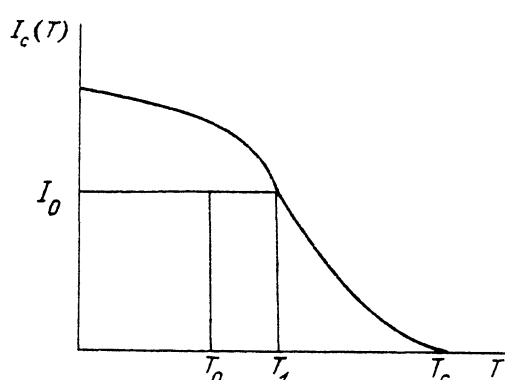


Рис. 5. Типичная зависимость  $I_c$  от  $T$ .

не уделялось достаточного внимания. Непонятным остается также тот факт, что уменьшение первой гармоники и возникновение третьей происходят при разных температурах (разница  $\sim 0.1$  К).

б. Влияние внешнего магнитного поля. Если воспользоваться правилом Сильбси, предположив, что роль  $H_c$  играет первое критическое поле  $H_{c1}$ , то можно показать, что выражение для  $dI_0/dt \sim V(t)$  не изменится. Однако это является слишком грубым приближением, так как оно не учитывает специфики протекания тока в смешанном состоянии. Во всяком случае следует ожидать уменьшения критического тока с ростом  $H_0$ , о чём косвенно свидетельствует убывание сигналов  $V_1$ ,  $V_3$  при больших  $H_0$  (рис. 2). Есть основания полагать, что в области больших  $H_0$  величина  $V_1$  пропорциональна  $I_c(H_0)$  (подобно ситуации, приведенной в п. а). Для выяснения этого надо сопоставить данные экспериментов на переменном токе со статической характеристикой  $I_c(H_0, \Phi)$  (как в п. а.). Такое исследование предполагается провести.

Полученные в работе экспериментальные факты показывают, что нелинейности весьма чувствительны к  $H_0$ , что может быть использовано в приложениях.

В заключение отметим, что исследование температурной зависимости нелинейности в конфигурации Ааронова—Бома дает метод непосредственного определения критического тока  $I_c$ . Такая методика вполне пригодна и для обычных сверхпроводников и кажется перспективной для исследования зависимости  $I_c$  от температуры, состояния поверхности, механической и термической обработки и т. п. Ее преимущество заключается в отсутствии проблемы контактов, а также в возможности значительного расширения диапазона критических токов при реализации импульсного варианта методики, когда сигнал формируется в виде коротких отрезков синусоиды, следующих друг за другом с определенной скважностью.

Реализация условий, в которых возникновение третьей гармоники сопровождается крутым нарастанием (как на рис. 1, 2) в принципе позволяет создать чувствительные датчики температуры или магнитного поля (правда, в достаточно узкой области значений измеряемых величин).

#### Список литературы

- [1] Bean C. P. // Rev. Mod. Phys. 1964. V. 36. N 1. P. 31—39.
- [2] Ishida T., Mazaki H. // J. Appl. Phys. 1981. V. 52. N 11. P. 6798—6805.
- [3] Shaulov A., Dorman D. // Appl. Phys. Lett. 1988. V. 53. N 26. P. 2680—2685.
- [4] Jeffries C. D., Lam Q. H., Kim Y. // Phys. Rev. B. 1989. V. 39. N 16A. P. 11526—11537.
- [5] Fisher L. M., Il'in N. V., Podlevskikh N. A., Zakharchenko S. I. // Sol. Stat. Comm. 1990. V. 73. N 10. P. 687—690.
- [6] Fisher L. M., Il'in N. V., Makarov N. M., Voloshin I. V., Yampolsky Y. A. // Sol. Stat. Comm. 1990. V. 73. N 10. P. 691—693.
- [7] Шелых А. И., Кудинов Е. К., Смирнов И. А. // ФТТ. 1991. Т. 33. № 5. С. 1613—1615.

Физико-технический институт  
им. А. Ф. Иоффе РАН  
Санкт-Петербург

Поступило в Редакцию  
30 июня 1992 г.